

نقد روش ضریب طول موثر در تامین پایداری کل سیستم سازه‌ای

محمد زمان کبیر^۱، ارسلان کلالی^۲

چکیده

در آیین نامه های ساختمانی، تاکید شده است که پایداری کل سیستم سازه‌ای و هر یک از اعضای فشاری تشکیل دهنده آن باید به طور مطمئن تامین شود. روش رایج، روش ضریب طول موثر می‌باشد که برای هر ستون با توجه به شرایط مرزی آن در سیستم سازه‌ای، مقدار ضریب طول موثر مشخص شده و به مک آن بار بحرانی ستون تعیین می‌شود که مبنای طراحی ستون قرار می‌گیرد، فرض می‌شود در اینصورت کل سیستم نیز پایدار است. اما در این مقاله مشاهده خواهد شد که به صرف تامین پایداری هر ستون به طور مجزا، پایداری کلی سیستم سازه‌ای تامین نمی‌شود و در انتها رایج ترین روش موجود مورد ارزیابی قرار خواهد گرفت.

کلمات کلیدی

ضریب طول موثر، پایداری ستون، پایداری طبقه، پایداری قاب، کمانش، بار بحرانی، قاب خمشی فولادی، اثرات مرتبه‌ی دوم.

Investigation of Effective Length Factor Method in Satisfying Overall Stability of the Structural System

M.Z. Kabir, A. Kalali

ABSTRACT

In building codes, it is considered that the overall stability of the structural system and its compressive members should be satisfied safely. The effective length factor method is used commonly. In this method for any individual column with various end conditions in structural system, the effective length factor is estimated analytically and then the critical load is determined, critical load is used for design, in this case, it is assumed that structural system is stable. The objective of current study is related to this point that the stability of individual columns does not reflect the overall stability of the structural system and also the available and commonest method in this field is investigated.

KEYWORDS

Effective length factor, Column stability, Story stability, Frame stability, Buckling, Critical load, Steel moment resisting frame, Second-order effects

^۱دانشیار دانشکده‌ی مهندسی عمران و محیط زیست دانشگاه صنعتی امیرکبیر: Email: mzkabir@aut.ac.ir

^۲دانشجوی کارشناسی ارشد سازه دانشکده‌ی مهندسی عمران و محیط زیست دانشگاه صنعتی امیرکبیر: Email: akalali@aut.ac.ir

[۱۵] و Hage MacGregor [۱۶] و همچنین Choeng-Siat-Moy

ثبت کردند. به رغم این شواهد، این روش در بسیاری از آئیننامه‌های ساختمانی به صورت بخشی از الزامات باقی مانده است ولی در ویرایش‌های جدید برعی از آئیننامه‌های ساختمانی، از این روش سنتی کمتر اثری دیده می‌شود [۱۷].

در قابهای خمشی، گاهی با اعضای غیرمنشوری مواجه می‌شوند که می‌تواند مثلاً به علت ارائه طرح اقتصادی از سوی طراح باشد. محققین مختلف مطالعاتی را در خصوص پایداری این اعضای غیرمنشوری انجام داده‌اند تا نتایج آنها در طراحی‌های روزمره مورد استفاده قرار گیرد [۹] و [۲۰].

به طور کلی در قابها، دو حالت حدی قاب ساده و قاب خمشی وجود دارند که در قاب ساده، اتصالات تیر به ستون مفصلی بوده و دوران انتهای تیرها و ستونهای متصل به هم از هم مستقلند ولی در قاب خمشی، اتصالات تیر به ستون صلب بوده و دوران انتهای تیرها و ستونهای متصل به هم از نظر مقدار و جهت یکسان است. بنابراین جزئیات اتصال تیر به ستون تعیین کننده نوع قاب می‌باشد. در مواقعی اتصالاتی وجود دارند که بین این دو حالت حدی قرار می‌گیرند که به قابهای خمشی با اتصالات نیمه صلب معروفند. بررسی پایداری این نوع قابها و تعیین اثر میزان صلبیت اتصال بر روی ضریب طول موثر ستونها، از سوی محققین مختلف مطالعه می‌باشد [۱۶]، [۱۹] و [۲۱].

در این مقاله ابتدا روش ضریب طول موثر تشریح شده و در ادامه مدل‌های قاب خمشی فولادی که مورد مطالعه قرار گرفته‌اند، معرفی می‌شوند. سپس تحلیل کماش برای هر مدل صورت گرفته که در هر مدل هم بحث پایداری ستون و هم بحث پایداری طبقه و کل قاب مورد توجه قرار می‌گیرد. سپس با بررسی نتایج حاصله، علل نقص روش ضریب طول موثر در تامین پایداری کلی سازه بررسی و ریشه‌یابی می‌شود. در آخر رایج‌ترین روش موجود مورد استفاده در این زمینه مورد ارزیابی قرار می‌گیرد.

۲- روش ضریب طول موثر

همانطور که در مقدمه ذکر شد، در این روش سعی می‌شود که مساله‌ی پیچیده‌ی پایداری کلی قاب به مساله‌ی ساده‌ی پایداری ستونهای مجزا با شرایط انتهایی مختلف تبدیل شود. در یکی از رایج‌ترین روشها که توسط ژولیان و لورنس ارائه شده، ضریب طول موثر بدست آمده از معادلات (۴) - (۲) که بر مبنای تحلیل پایداری مدل‌های ساده‌ی تیر-ستون می‌باشد، مورد استفاده قرار می‌گیرد [۴]، [۶]، [۷] و [۱۷].

- حالتی که از حرکت جانبی جلوگیری به عمل آید:

بعد از آنکه اولر مقاله‌ی معروف خود را درباره‌ی بار بحرانی ستونها ارائه نمود، ملاک پایداری به عنوان عاملی در تعیین ظرفیت باربری ستونها شناخته شد. علاوه بر آن، پذیرش فرمول اولر منوط به عدم تجاوز تنشهای ناشی از بار اولر از تنش حد جاری شدن مصالح ستون می‌باشد، در غیر اینصورت قطعه قبل از رسیدن به وضعیت ناپایدار (کمانش) بر اثر ملاک مقاومت لهیه خواهد شد. بدین ترتیب دو ملاک پایداری و مقاومت به صورت تفکیک شده برای تعیین ظرفیت باربری قطعات فشاری مدنظر قرار می‌گیرد [۳]، [۱۰]، [۱۱] و [۱۴] که در این مقاله معیار پایداری مورد توجه و بحث قرار گرفته است.

در مقررات ملی ساختمان ایران، مبحث ۱۰: طرح و اجرای ساختمانهای فولادی، در بند ۲-۱-۱-۱۰ آمده است که پایداری کلی دستگاه سازه و هر یک از اعضای فشاری تشکیل دهنده‌ی آن باید به طور مطمئن تامین شود [۵]. تامین پایداری سازه به عنوان یک معیار مهم و تعیین کننده در طراحی باعث شده است که کفايت روشهای موجود مورد تحقیق قرار بگیرد.

روش رایج موجود برای تامین این مهم، روش ضریب طول موثر است. در این روش سعی می‌شود که مساله‌ی پیچیده‌ی پایداری کلی قاب به مساله‌ی ساده‌ی پایداری ستونهای مجزا با شرایط انتهایی مختلف تبدیل شود. نقص ضریب طول موثر (K)، آن است که به جای طول حقیقی L ستون با شرایط انتهایی پیچیده، ستون معادلی به طول KL با دو انتهای مفصلی جایگزین شود به طوری که رابطه کمانش اولر را بتوان برای بررسی پایداری ستون به کار برد:

$$(1) \quad P_{cr} = \frac{\pi^2 EI}{(KL)^2}$$

علاوه بر آن فرض می‌شود که اگر پایداری هر یک از ستونهای مجزا از هم به کمک این روش تایید شود، آن گاه سیستم ناپایدار نخواهد شد [۱۷].

ولی در یک قاب خمشی معمولاً اعضا به طور صلب در گره‌ها به یکدیگر متصل هستند، در نتیجه هیچ عضو فشاری نمی‌تواند کمانش کند مگر اینکه کلیه اعضای قاب همزمان تغییر شکل یابند. به بیان دیگر، گیرداری ارتجاعی در انتهای یک عضو فشاری نه فقط به اعضایی که مستقیماً در دو انتها به آن متصلند بلکه به تمام اعضای تشکیل دهنده‌ی قاب نیز بستگی دارد. بنابراین برای به دست آوردن بار بحرانی اعضای فشاری یک قاب خمشی، لازم است که پایداری کل قاب نیز به صورت یک واحد منفرد بررسی شود [۴] و [۲۲]. مثالاً و شواهدی از نواقص روش ضریب طول موثر را پژوهشگرانی از قبیل

ستونها به طور همزمان کمانش می‌کنند. ۷- از تغییر شکل برشی اعضا صرفنظر شده است.

با توجه به فرضیات ۱-۷ به کمک روابط شیب-افت که در آنها اثر نیروی محوری فشاری در کاوش سختی خمشی وارد شده است، معادله حاکم بر کمانش ستون مطابق روابط (۲) و (۴) بدست می‌آید.

در تفسیر فصل C آیین نامه فولاد آمریکا (AISC 2005) که مربوط به تحلیل و طراحی برای پایداری است [۶] و [۷]، این روش سنتی نیز مورد توجه قرار گرفته و معرفی شده است. با توجه به فرضیات این روش که ممکنست همگی در سازه‌های واقعی برقرار نباشند، توجه و یا اصلاحات خاصی لازم است که در تفسیر فصل C آیین نامه 2005 AISC آورده شده که به مواردی از آنها اینک اشاره می‌شود.

توصیه شده در ستونهایی که با اتصال مفصلی به پایه وصل می‌شوند، G برابر ۱۰ و در ستونهایی که با اتصال گیردار به پایه متصل می‌شوند، G برابر ۱ در نظر گرفته شود. بعلاوه چنانچه شرایط خاصی در انتهای دور تیر برقرار باشد، جمله‌ی مربوط به سختی تیر در رابطه (۴) باید در ضربی ضرب شود. در حالتی که حرکت جانبی وجود دارد، این ضربی برای انتهای دور مفصلی $5/0$ و برای انتهای دور گیردار $67/0$ است [۶] و [۷].

در مقررات ملی ساختمان ایران، مبحث ۱۰: طرح و اجرای ساختمانهای فولادی [۵]، در بند ۴-۱-۱-۱۰ آمده است "قابلیت پایداری جانبی آنها از طریق سختی خمشی اعضا قاب (تیرها) و ستونهایی که با اتصالات صلب به یکیگر متصل‌اند) تامین می‌شود، طول موثر (KL) اعضا فشاری باید با تجزیه و تحلیل وضع موجود تعیین شود و هیچگاه نباید کمتر از طول واقعی عضو در نظر گرفته شود". در این بند برای محاسبه ضربی طول موثر ستونها، استفاده از این روش سنتی نیز مجاز است.

در طراحی‌های روزمره، ضربی طول موثر بدست آمده از معادله (۳) و حل ترسیمی آن مطابق شکل (۱)، در مورد سیستم سازه‌ای قاب خمشی به طور گستردۀ مورد استفاده قرار می‌گیرد، به طوری که حتی روش پیش فرض برای محاسبه ضربی طول موثر ستونها در نرم افزارهای تجاری طراحی سازه‌ها مانند: SAP و ETABS می‌باشد (اگر به صورت دستی مقداری برای K ستونها مشخص نگردد). یکی از اهداف اصلی این مقاله آن است که این روش سنتی که بر مبنای ایده‌آل‌سازی‌هایی قرار دارد به محک آزمایش گذاشته شده و میزان دقت آن سنجدیده شود.

باید توجه داشت محققین مختلف همواره سعی در بهبود و

$$\frac{G_A G_B}{4} \left(\frac{\pi^2}{K^2} \right) + \left(\frac{G_A + G_B}{2} \right) \left(1 - \frac{\pi/K}{\tan \pi/K} \right) + \frac{2}{\pi/K} \tan \frac{\pi}{2K} = 1 \quad (2)$$

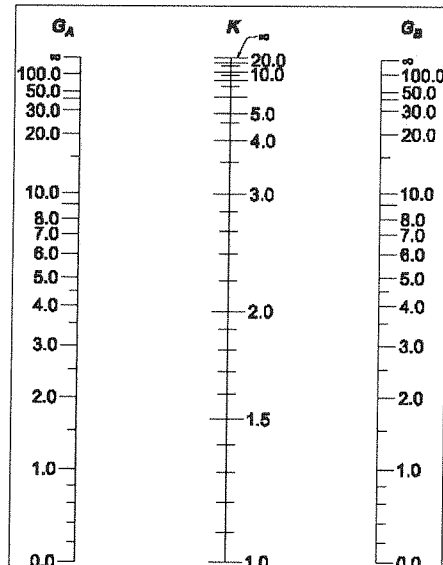
- حالتی که اجازه حرکت جانبی داده شود:

$$\left[\frac{(\pi/K)^2 G_A G_B}{36} - 1 \right] \tan \frac{\pi}{K} - \left(\frac{G_A + G_B}{6} \right) \frac{\pi}{K} = 0 \quad (3)$$

که G_A و G_B سختی دورانی نسبی ستون‌ها به تیرها می‌باشند که در انتهای A و B ستون مورد نظر تعیین می‌شوند:

$$G = \frac{\sum (EI/L)_c}{\sum (EI/L)_g} \quad (4)$$

زیرنویس c مربوط به ستونها و g مربوط به تیرها می‌باشد. حل ترسیمی معادله (۳) در شکل (۱) نشان داده شده است.



شکل (۱): محاسبه ضربی طول موثر برای قاب مهار نشده

مشاهده می‌شود که روش پیشنهاد شده توسط ژولیان برای برآورد بار بحرانی ستون درون قاب، متناسبنی یک تحلیل دقیق است ولی فقط ستون مورد نظر و تیرها و ستونهایی که مستقیماً به آن متصلند در نظر گرفته می‌شوند و از تاثیر اعضاً دیگر قاب که مستقیماً به ستون مورد بررسی اتصال ندارند، صرفنظر می‌شود. سایر فرضیات ساده کننده این روش در حالت قاب مهار نشده که موضوع اصلی این مقاله می‌باشد، در انتها تیر در هر طرف گره، از نظر بزرگی و جهت یکسان است عبارتند از: ۱- مقطع تمامی اعضا منشوری است. ۲- تمامی اتصالات صلب می‌باشند. ۳- در قابهای خمشی، دوران دو انتهای تیر در هر طرف گره، از نظر بزرگی و جهت یکسان است که موجب انحنای مضاعف می‌شود. ۴- قید ناشی از گرهها به ستونهای بالا و پایین به نسبت EI/L توزیع می‌شود. ۵- نیروی محوری فشاری قابل توجهی در تیرها وجود ندارد. ۶- تمام

غلبه بر محدودیتهای روش‌های موجود تعیین ضریب طول موثر ستونها و ارائه روابط دقیق‌تر دارند [۸] و [۱۲]

۳- مشخصات مدلها

سعی شده تا برای جامع بودن این تحقیق، انواع قابهای خمشی فولادی شامل: قابهای چاق، متوسط و لاغر مورد توجه قرار گیرند لذا مدل‌های مورد بررسی قابهای خمشی دو بعدی فولادی ۴ طبقه، ۸ طبقه و ۱۵ طبقه می‌باشند که برای تعداد دهانه‌های ۲ تایی، ۳ تایی و ۵ تایی مدل شده‌اند. ارتفاع ستونها ۲/۲ متر و طول تیرها ۵ متر می‌باشد. مدل‌ها براساس آینه‌نامه‌های ۵۱۹ و ۲۸۰۰ بارگذاری شده [۱] و [۲] و بر اساس آینه‌نامه‌ی فولاد ایران طراحی شده‌اند [۵]. مکان مدل‌ها در تهران، کاربری مسکونی و خاک از نوع ۲ در نظر گرفته شده است. سعی شده است تا برای ستونها و تیرها اعضای بهینه تعیین شده و در تحلیل کمانش استفاده گردد. در ضمن کفهای دیافراگم صلب می‌باشند.

هر مدل بعد از طراحی با کمک نرم افزار SAP برای بررسی پایداری (کمانش) وارد نرم افزار ANSYS شده و در آنجا تحلیل کمانش برای ستونها، طبقات و کل قاب صورت گرفته است. المان مورد استفاده در نرم افزار ANSYS برای تیرها و ستونها، Beam می‌باشد که اثرات مرتبه‌ی دوم در ماتریس سختی آن فعال شده است. برای انجام یک تحلیل کامل پایداری در یک قاب، به اندازه تعداد ستونها بعلاوه تعداد طبقات بعلاوه یک، تحلیل کمانش لازم می‌باشد. برای نامگذاری مدل‌ها از الگوی: (تعداد طبقه) S (تعداد دهانه) B استفاده شده و راستای ستونهای مورد بررسی، مطابق شکل (۲) نامگذاری می‌شوند.



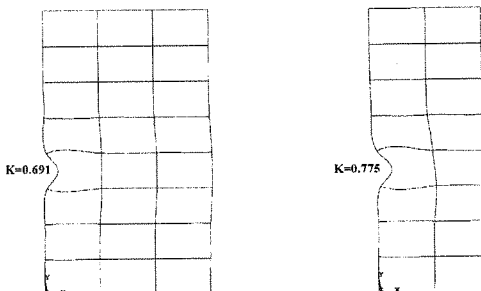
شکل (۲): نامگذاری راستای ستونها در قابهای مورد بررسی در انجام این تحلیلها، پاسخ به دو سوال مدنظر می‌باشد:
سوال ۱: مقدار دقیق ضریب طول موثر (K) که میان شرایط مرزی برای هر ستون بوده و نقش مستقیم در بار کمانش آن دارد، چقدر است؟ سوال ۲: آیا با تامین پایداری هر ستون به طور مجزا، طبقه و کل سیستم قاب خمشی پایدار خواهد بود؟ اگر نه، مقدار بار کمانشی هر طبقه در یک سیستم قاب خمشی چقدر می‌باشد؟

۴- مقدار ضریب طول موثر

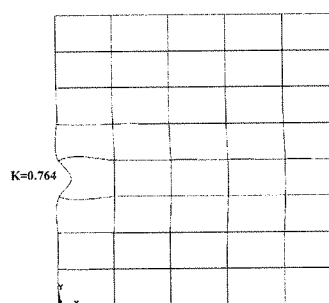
برای تعیین مقدار ضریب طول موثر هر ستون، لازمت است برای هر ستون یکبار تحلیل کمانش انجام شود یعنی نیروی محوری فشاری در دو سر ستون مورد نظر قرار داده و سایر

اعضای قاب خمشی همانند شرایط مرزی برای آن ستون در نظر گرفته شود، آنگاه تحلیل کمانش انجام شود تا بار بحرانی ستون مورد نظر و در نتیجه ضریب طول موثر آن (K)، بدست آید.

در اینجا، این تحلیلها برای ۱۵۹ ستون واقع در سیستمهای قاب خمشی مختلف با تعداد طبقات: ۴، ۸ و ۱۵، و تعداد دهانه‌های: ۲، ۳ و ۵ انجام شده است. شکل کمانش مربوط به ۳ ستون در اشکال (۳) و (۴) آمده است.



شکل (۳): کمانش ستون کناری طبقه‌ی چهارم در قابهای خمشی ۲ و ۳ دهانه‌ی ۸ طبقه



شکل (۴): کمانش ستون کناری طبقه‌ی چهارم در قاب خمشی ۵ دهانه‌ی ۸ طبقه

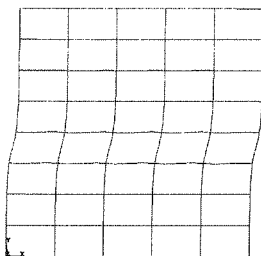
نتایج عددی مربوط به ضریب طول موثر بدست آمده از نرم افزار ANSYS در جداول (۱) و (۲) برای ۵۴ ستون مربوط به قابهای ۳ دهانه و ۴، ۸ و ۱۵ طبقه نشان داده شده است.

جدول (۱): مقادیر ضریب طول موثر ستونهای قابهای خمشی ۳ دهانه‌ی ۴ و ۸ طبقه

B ^۳ S _۸	راستای C _۱	راستای C _۲
طبقه‌ی ۸	.۰/۸۱	.۰/۸۱
طبقه‌ی ۷	.۰/۶۶	.۰/۷۱
طبقه‌ی ۶	.۰/۶۳	.۰/۸۲
طبقه‌ی ۵	.۰/۷۴	.۰/۸۱
طبقه‌ی ۴	.۰/۶۹	.۰/۸۷
طبقه‌ی ۲	.۰/۷۳	.۰/۸۲
طبقه‌ی ۱	.۰/۷۶	.۰/۸۲

B ^۳ S _۴	راستای C _۱	راستای C _۲
طبقه‌ی ۴	.۰/۷۲	.۰/۶۱
طبقه‌ی ۲	.۰/۶۶	.۰/۷۰
طبقه‌ی ۱	.۰/۶۷	.۰/۷۱

بعد از محاسبه بار بحرانی هر طبقه (P_s), نسبت آن به مجموع بار بحرانی تک تک ستونهای آن طبقه به طور مجزا (P_c) که در بخش قبلی بدست آمد، تحت نام α ($P_s / \sum P_c$) در جداول (۳) و (۴) برای ۲۷ طبقه مربوط به قابهای خمسی ۳ دهانه و ۸ و ۱۵ طبقه نشان داده شده است.



شکل (۷): ناپایداری طبقه‌ی چهارم در قاب ۵ دهانه‌ی ۸ طبقه از مشاهده‌ی جداول (۳) و (۴) و سایر نتایج مربوط به قابهای خمسی با تعداد دهانه‌های ۲ و ۵ و تعداد مختلف طبقات، مشخص می‌شود که این ضریب همواره کوچکتر از ۱ و در حوالی ۰/۳ تغییر می‌کند و بیان کننده‌ی آن است که در صورت تامین پایداری هر ستون به طور مجزا در یک طبقه، پایداری طبقه و به عبارتی کل سیستم سازه‌ای تضمین نمی‌شود.

جدول (۳): ضرایب مربوط به کمانش طبقات در قابهای خمسی ۳ دهانه‌ی ۴ و ۸ طبقه

B ³ S ⁸	α
طبقه‌ی ۸	۰/۲۷۱
طبقه‌ی ۷	۰/۲۸۵
طبقه‌ی ۶	۰/۳۱۵
طبقه‌ی ۵	۰/۲۷۸
طبقه‌ی ۴	۰/۲۸۸
طبقه‌ی ۳	۰/۲۶۹
طبقه‌ی ۲	۰/۲۵۲
طبقه‌ی ۱	۰/۲۹۲

B ³ S ⁴	α
طبقه‌ی ۴	۰/۲۷۰
طبقه‌ی ۳	۰/۲۸۸
طبقه‌ی ۲	۰/۲۸۳
طبقه‌ی ۱	۰/۳۱۳

جدول (۴): ضرایب مربوط به کمانش طبقات در یک قاب خمسی ۳ دهانه‌ی ۱۵ طبقه

طبقه‌ی ۸	۰/۲۵۶
طبقه‌ی ۷	۰/۲۶۴
طبقه‌ی ۶	۰/۲۵۷
طبقه‌ی ۵	۰/۲۵۳
طبقه‌ی ۴	۰/۲۵۳
طبقه‌ی ۳	۰/۲۵۲
طبقه‌ی ۲	۰/۲۵۱
طبقه‌ی ۱	۰/۲۸۷

B ³ S ^{1۰}	α
طبقه‌ی ۱۵	۰/۲۷۰
طبقه‌ی ۱۴	۰/۲۶۸
طبقه‌ی ۱۳	۰/۲۶۷
طبقه‌ی ۱۲	۰/۲۶۳
طبقه‌ی ۱۱	۰/۲۷۳
طبقه‌ی ۱۰	۰/۲۷۱
طبقه‌ی ۹	۰/۲۶۵

علت این امر و عدم تامین پایداری طبقه با وجود تامین پایداری ستونهای آن طبقه به طور مجزا، آنست که شرایط

از مشاهده‌ی این ۲ جدول و سایر نتایج مربوط به قابهای خمسی با تعداد دهانه‌ی ۲ و ۵ و تعداد مختلف طبقات، مشخص می‌شود که مقدار K در تقریبا تمام ستونها کوچکتر از ۱ و در ستونهای نزدیک به ۱ است. وضعیت یک ستون در یک قاب خمسی مطابق مدل شکل (۵) می‌باشد. در اینجا، ستونها به طور مجزا بررسی شده و ناپایداری همزمان آنها لاحظ نشده است. در بخش بعدی اثر کماش همزمان ستونها در یک طبقه یا عبارتی ناپایداری طبقه مورد مطالعه قرار گرفته است.

جدول (۲): ضریب طول موثر ستونهای یک قاب ۳ دهانه‌ی ۱۵ طبقه

طبقه‌ی ۸	۰/۷۰	۰/۷۷
طبقه‌ی ۷	۰/۶۸	۰/۷۹
طبقه‌ی ۶	۰/۷۰	۰/۷۵
طبقه‌ی ۵	۰/۷۱	۰/۷۸
طبقه‌ی ۴	۰/۷۳	۰/۷۴
طبقه‌ی ۳	۰/۷۹	۰/۷۳
طبقه‌ی ۲	۱/۰۱	۱/۰۱
طبقه‌ی ۱	۰/۷۷	۱/۰۱

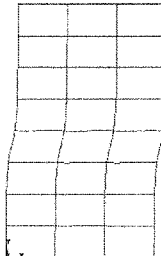
B ³ S ^{1۰}	راستای C ^۱	راستای C ^۲
طبقه‌ی ۱۵	۰/۸۱	۰/۵۹
طبقه‌ی ۱۴	۰/۶۴	۰/۶۳
طبقه‌ی ۱۳	۰/۶۵	۰/۶۴
طبقه‌ی ۱۲	۰/۶۶	۰/۶۶
طبقه‌ی ۱۱	۰/۶۵	۰/۷
طبقه‌ی ۱۰	۰/۶۷	۰/۷۲
طبقه‌ی ۹	۰/۶۸	۰/۷۴



شکل (۵): شرایط مرزی یک ستون در یک قاب خمسی

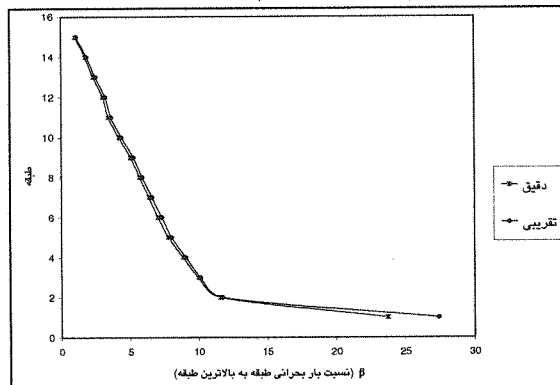
۵- بررسی پایداری طبقه

برای تعیین بار بحرانی طبقه، برای هر طبقه یک تحلیل کمانش لازم است. در این تحلیل کمانش، بار گسترده فشاری در بالا و پایین طبقه مورد نظر قرار گرفته و بررسی می‌شود به ازای چه مقدار بار، کمانش و ناپایداری طبقه اتفاق می‌افتد. در اینجا، این تحلیلها برای ۶۶ طبقه واقع در سیستمهای قاب خمسی با تعداد طبقات ۴، ۸ و ۱۵ و تعداد دهانه‌های ۳، ۲ و ۵ انجام شده است. شکل ناپایداری مربوط به ۳ طبقه در اشکال (۶) و (۷) آورده شده است.

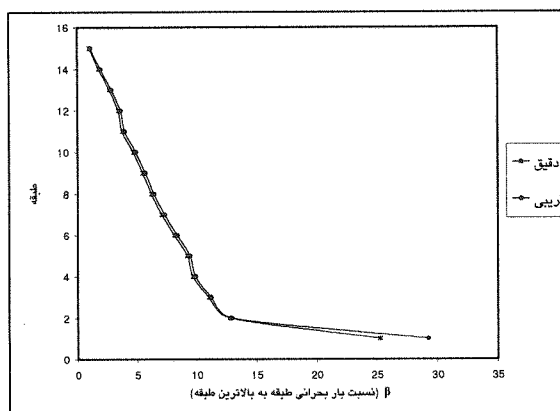


شکل (۶): ناپایداری طبقه‌ی چهارم در قابهای ۲ و ۳ دهانه‌ی ۸ طبقه

نتایج حاصله برای قاب خمثی ۳ و ۵ دهانه‌ی ۱۵ طبقه در اشکال (۹) و (۱۰) آورده شده است. در این نمودارها، به جای مقادیر مطلق که دارای واحد می‌باشد، از مقادیر نسبی بدون بعد استفاده شده به طوری که بار بحرانی هر طبقه در هر مدل بر بار بحرانی بالاترین طبقه‌ی آن مدل که از نرم افزار ANSYS بدست آمده، تقسیم شده و تحت نام β آورده شده است.



شکل (۹): بررسی فرمول تقریبی در قاب ۳ دهانه‌ی ۱۵ طبقه



شکل (۱۰): بررسی فرمول تقریبی در قاب ۵ دهانه‌ی ۱۵ طبقه از اشکال (۹) و (۱۰) و نتایج مربوط به سایر قابهای خمثی مشاهده می‌شود که جوابهای فرمول (۵) همواره بیشتر از جوابهای دقیق می‌باشد زیرا این فرمول براساس ساده‌سازی‌هایی بدست آمده است. مثلاً در حالت کلی، کمانش یک طبقه از قاب خمثی به صورت ترکیبی از حالت‌های برشی و خمثی کمانش اتفاق می‌افتد در صورتی که در این فرمول تنها حالت کمانش برشی مد نظر قرار گرفته و از اثر کاهنده حالت کمانش خمثی در بار بحرانی طبقه صرف‌نظر شده است که این عامل در طبقه اول اثر خود را بیشتر نشان می‌دهد. دقت این فرمول در طبقات مختلف به جز طبقه‌ی اول بالا بوده و خطای کمتر از ۱۰٪ است ولی در طبقه‌ی اول، میزان خطای این فرمول بین ۱۰٪ تا ۱۵٪ می‌باشد. پس نتیجه می‌شود که دقت این فرمول خوبست و به علت سادگی آن، می‌توان به راحتی در طراحی‌ها از این فرمول استفاده کرد.

مرزی هر ستون در قاب خمثی، با ستونهای اطراف خود دارای جووه مشترکی است، به عنوان مثال: دو ستون کنار هم در تیرهای متصل به بالا و پایین خود، با هم مشترکند و یا اینکه به علت حضور دیافراگم صلب، انتهای ستونها به هم محدود بوده و به یک میزان دچار انتقال جانبی می‌شوند و ... بنابراین در نظر نگرفتن اندرکنش همزمان بین ستونها و بررسی جدگاه‌ی آنها در جهت اطمینان نیست و خطای زیادی ایجاد می‌کند.

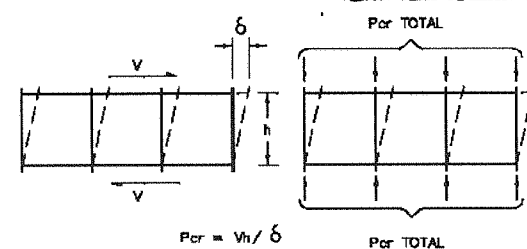
اکنون با توجه به اینکه: (مجموع بار بحرانی تک‌تک ستونهای طبقه به طور مجزا) $<$ (بار بحرانی طبقه) است، لازمست فرمولی عملی برای محاسبه بار بحرانی طبقه ارائه شود. روشهای تقریبی متعددی برای تخمین بار کمانش سازده‌ها، پیشنهاد شده است. در بین این روشهای یک نوآوری ساده توسط Nair [۱۸] جوابهای مناسبی بدست می‌دهد. در این مطالعه، فرمول Nair مورد بررسی قرار گرفته و دقت آن با کمک تحلیل دقیق به کمک نرم افزار ANSYS کنترل می‌گردد.

در این روش از این نکته استفاده می‌شود که اغلب ساختمانهای چند طبقه، مشخصه‌های بار جانبی- تغییر مکان جانبی، مشابهی یک طریق خمثی یا یک طریق برشی دارند. ساختمانهای دارای قابهای ساده‌ی مهاربندی شده و یا دیوار برشی، مشخصه‌های بار جانبی- تغییر مکان جانبی آنها شبیه یک طریق خمثی است و ساختمانهای با ارتفاع کم تا متوسط با سیستم قاب خمثی، مشخصه‌های بار جانبی- تغییر مکان جانبی آنها شبیه یک طریق برشی است.

در ساختمانهایی که به صورت طریقه‌ای برشی مدلسازی می‌شوند، اگر قسمتی از یک طریق برشی با ارتفاع h تحت اثر نیروی برشی V ، تغییر شکل جانبی δ پیدا کند، مطابق شکل (۸) بار بحرانی برای کمانش آن قسمت از طریق عبارتست از:

$$P_{cr} = Vh/\delta \quad (5)$$

این فرمول همچنین در پیوست شماره‌ی ۵ استاندارد ۲۸۰۰ آیین نامه‌ی طراحی ساختمانها در برابر زلزله با موضوع "اثر استفاده شده است.



شکل (۸): کمانش یک طبقه از یک ساختمان برشی

این فرمول برای ۶۶ طبقه واقع در سیستمهای قاب خمثی با تعداد طبقات ۴، ۸، ۱۵ و تعداد دهانه‌های ۲، ۳ و ۵ استفاده و با مقادیر حاصله از نرم افزار ANSYS مقایسه شده است.

۶- بررسی پایداری کل قاب

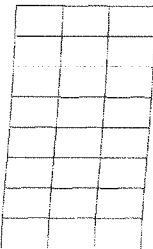
قابهای خمثی با تعداد دهانه‌های ۲ و ۵ و تعداد مختلف طبقات، مشخص می‌شود که این ضریب همواره کوچکتر از ۱ بوده و با افزایش تعداد طبقات قاب کاهش می‌یابد، به طوری که برای مثال در طبقات قاب خمثی ۳ دهانه‌ی ۴ طبقه بین ۰/۵۵۸ تا ۰/۷۷۸ با میانگین ۰/۶۹۵، در طبقات قاب خمثی ۳ دهانه‌ی ۸ طبقه بین ۰/۵۵۹ تا ۰/۶۱۹ با میانگین ۰/۵۵۹ و در طبقات قاب خمثی ۳ دهانه‌ی ۱۵ طبقه بین ۰/۲۴۱ تا ۰/۵۷۴ با میانگین ۰/۵ می‌باشد و بیان کننده‌ی آن است که در صورت تامین پایداری هر طبقه به طور مجزا در یک قاب خمثی، پایداری قاب و به عبارتی کل سیستم سازه‌ای تضمین نمی‌شود. زیرا طبقات مجاور هم در شرایط مرزی خود با هم مشترکاتی دارند که لازمست در نظر گرفته شود.

جدول (۶): ضرایب مربوط به کمانش طبقات در یک قاب خمثی ۳ دهانه‌ی ۱۵ طبقه

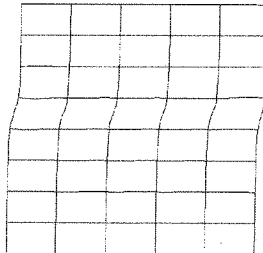
۸ طبقه‌ی	۰/۵۴۲
۷ طبقه‌ی	۰/۵۴۲
۶ طبقه‌ی	۰/۵۴۲
۵ طبقه‌ی	۰/۵۴۱
۴ طبقه‌ی	۰/۵۱۹
۳ طبقه‌ی	۰/۵۰۳
۲ طبقه‌ی	۰/۴۷۳
۱ طبقه‌ی	۰/۲۲۱

B ^۳ S ^{۱۵}	۷
۱۵ طبقه‌ی	۰/۴۲۰
۱۴ طبقه‌ی	۰/۴۶۹
۱۳ طبقه‌ی	۰/۵۰۹
۱۲ طبقه‌ی	۰/۵۲۶
۱۱ طبقه‌ی	۰/۵۷۴
۱۰ طبقه‌ی	۰/۵۶۰
۹ طبقه‌ی	۰/۵۲۸

اکنون لازم است در انتهای این تحقیق، "نایپایداری همزمان طبقات" و یا همان "نایپایداری کل قاب خمثی" هم بررسی شود. برای تعیین بار بحرانی هر قاب، برای هر قاب یک تحلیل کمانش مورد نیاز است. در این تحلیل کمانش، بار ثقلی گسترده بر روی تمام طبقات قاب مورد نظر قرار گرفته و تعیین می‌شود به ازای چه مقدار بار، کمانش و نایپایداری قاب اتفاق می‌افتد. در اینجا، این تحلیلها برای ۸ قاب خمثی با تعداد طبقات ۴، ۸، ۱۵ و تعداد دهانه‌های ۲، ۳، ۵ انجام شده است. شکل نایپایداری مربوط به ۳ قاب در اشکال (۱۱) و (۱۲) آورده شده است.



شکل (۱۱): نایپایداری قابهای خمثی ۲ و ۳ دهانه‌ی ۸ طبقه



شکل (۱۲): نایپایداری قاب خمثی ۵ دهانه‌ی ۸ طبقه

بعد از محاسبه بار بحرانی هر طبقه در هنگام کمانش کل قاب (P_{ss}), نسبت آن به بار بحرانی آن طبقه (P_{si}) که در بخش قبلی با بررسی مجازی هر طبقه بدست آمد، تحت نام ۷ (۰/۵۷۳۹) در جداول (۵) و (۶) برای ۲۷ طبقه مربوط به قابهای خمثی ۳ دهانه و ۴، ۸ و ۱۵ طبقه نشان داده شده است.

جدول (۵): ضرایب مربوط به کمانش طبقات در قابهای خمثی ۳ دهانه‌ی ۴ و ۸ طبقه

B ^۳ S ^۸	۷
۸ طبقه‌ی	۰/۵۶۸
۷ طبقه‌ی	۰/۵۹۷
۶ طبقه‌ی	۰/۶۱۹
۵ طبقه‌ی	۰/۵۵۱
۴ طبقه‌ی	۰/۵۵۵
۳ طبقه‌ی	۰/۵۹۵
۲ طبقه‌ی	۰/۵۹۷
۱ طبقه‌ی	۰/۲۸۹

B ^۳ S ^۴	۷
۴ طبقه‌ی	۰/۷۳۹
۳ طبقه‌ی	۰/۶۹۵
۲ طبقه‌ی	۰/۷۸۸
۱ طبقه‌ی	۰/۵۵۸

از مشاهده‌ی جداول (۵) و (۶) و سایر نتایج مربوط به

اکنون ضریب طول موثر بدست آمده برای ستونها در بخش ۴ که از بررسی مجازی آنها بدست آمد، بعد از اعمال ضرایب ۰ و ۷ اصلاح شده و مقدار نهایی خود را می‌یابند. این دو ضریب اصلاحی ۰ و ۷ به ترتیب مربوط به کمانش همزمان ستونهای طبقه و کمانش همزمان طبقات قاب خمثی می‌باشد. بعد از تعیین مقادیر دقیق ضرایب طول موثر ستونها، مقایسه‌ای هم با نتایج روش تقریبی رایج محاسبه این پارامتر مهم طراحی که در بخش ۲ بحث شد، در جداول (۷)، (۸) و (۹) برای ۵۴ ستون مربوط به قابهای خمثی ۳ دهانه و ۴، ۸ و ۱۵ طبقه صورت گرفته است.

از مشاهده‌ی جداول (۷)، (۸) و (۹) و سایر نتایج مربوط به قابهای خمثی با تعداد دهانه‌های ۲ و ۵ و تعداد مختلف طبقات، مشخص می‌شود که خطای روش تقریبی با افزایش تعداد طبقات قاب افزایش می‌یابد، به طوری که برای مثال خطای این روش تقریبی در ستونهای قاب خمثی ۳ دهانه‌ی ۴ طبقه بین ۰/۱۵/۴٪ - تا ۰/۱۷/۷٪ با میانگین قدر مطلقها برابر ۰/۸/۹٪ در ستونهای قاب خمثی ۳ دهانه‌ی ۸ طبقه بین ۰/۲۵/۲٪ - تا ۰/۳۶/۳٪ با میانگین قدر مطلقها برابر ۰/۱۴/۴٪ و در ستونهای قاب خمثی ۳ دهانه‌ی ۱۵ طبقه بین ۰/۴۵/۴٪ - تا ۰/۴۵/۴٪ با میانگین قدر مطلقها برابر ۰/۱۶/۷٪ می‌باشد. همچنین دیده می‌شود که اکثر اختلافها

بین نتایج دو روش، در ستونهای طبقات بالایی و پایینی به هر حال روش تقریبی بر مبنای فرضیاتی استوار است قابهاست.

جدول (۷): مقادیر دقیق و تقریبی ضربی طول موثر ستونهای یک قاب خمشی ۳ دهانه‌ی ۴ طبقه

B ^۳ S ^۴	Rاستای C1			Rاستای C2		
	دقیق	تقریبی	درصد خطأ (%)	دقیق	تقریبی	درصد خطأ (%)
طبقه‌ی ۴	۱/۶۱	۱/۵۲	-۵/۳	۱/۲۶	۱/۲۵	-۷/۸
طبقه‌ی ۲	۱/۴۷	۱/۵۷	۶/۸	۱/۵۶	۱/۴۰	-۱۰/۱
طبقه‌ی ۲	۱/۴۱	۱/۶۶	۱۷/۷	۱/۵۱	۱/۶۲	۷/۰

جدول (۸): مقادیر دقیق و تقریبی ضربی طول موثر ستونهای یک قاب خمشی ۳ دهانه‌ی ۸ طبقه

B ^۳ S ^۸	Rاستای C1			Rاستای C2		
	دقیق	تقریبی	درصد خطأ (%)	دقیق	تقریبی	درصد خطأ (%)
طبقه‌ی ۸	۲/۰۶	۱/۸۵	-۲۰/۰	۱/۵۴	۱/۲۷	-۱۷/۸
طبقه‌ی ۷	۱/۶۱	۱/۷۰	۵/۶	۱/۷۲	۱/۴۷	-۱۴/۷
طبقه‌ی ۶	۱/۴۳	۱/۸۲	۲۶/۹	۱/۸۶	۱/۸۷	-۱۰/۰
طبقه‌ی ۵	۱/۸۸	۱/۸۸	-۰/۱	۲/۰۷	۱/۸۲	-۱۲/۲
طبقه‌ی ۴	۱/۷۳	۱/۹۳	۱۱/۶	۲/۱۷	۱/۸۸	-۱۲/۲
طبقه‌ی ۲	۱/۸۲	۲/۱۵	۱۷/۹	۲/۰۵	۱/۹۵	-۵/۱
طبقه‌ی ۲	۱/۹۶	۲/۹۷	۲۶/۳	۲/۲۱	۲/۲۰	-۰/۳

جدول (۹): مقادیر دقیق و تقریبی ضربی طول موثر ستونهای یک قاب خمشی ۳ دهانه‌ی ۱۵ طبقه

B ^۳ S ^{۱۵}	Rاستای C1			Rاستای C2		
	دقیق	تقریبی	درصد خطأ (%)	دقیق	تقریبی	درصد خطأ (%)
طبقه‌ی ۱۵	۲/۴۱	۱/۸۵	-۳۱/۵	۱/۷۶	۱/۲۰	-۳۱/۸
طبقه‌ی ۱۴	۱/۸۰	۱/۶۰	-۱۱/۱	۱/۷۷	۱/۳۰	-۲۶/۷
طبقه‌ی ۱۲	۱/۷۵	۱/۵۸	-۹/۸	۱/۷۲	۱/۲۶	-۲۱/۱
طبقه‌ی ۱۲	۱/۷۸	۱/۶۴	-۸/۱	۱/۷۷	۱/۴۲	-۱۹/۶
طبقه‌ی ۱۱	۱/۶۴	۱/۷۲	۵/۰	۱/۷۷	۱/۵۱	-۱۴/۹
طبقه‌ی ۱۰	۱/۷۲	۱/۷۷	۲/۱	۱/۸۵	۱/۵۷	-۱۵/۰
طبقه‌ی ۹	۱/۷۹	۱/۸۶	۳/۸	۱/۹۷	۱/۶۶	-۱۵/۷
طبقه‌ی ۸	۱/۸۸	۲/۰۰	۶/۲	۲/۰۷	۱/۷۸	-۱۴/۰
طبقه‌ی ۷	۱/۸۱	۱/۹۹	۱۰/۱	۲/۰۹	۱/۷۹	-۱۴/۵
طبقه‌ی ۶	۱/۸۶	۲/۰۰	۷/۳	۲/۰۲	۱/۷۶	-۱۲/۸
طبقه‌ی ۵	۱/۹۳	۲/۱۴	۱۱/۰	۲/۱۰	۱/۸۶	-۱۱/۵
طبقه‌ی ۴	۲/۰۱	۲/۲۳	۱۶/۱	۲/۲۲	۲/۰۶	-۱۱/۲
طبقه‌ی ۲	۲/۲۲	۲/۸۵	۲۷/۸	۲/۸۲	۲/۴۶	-۶/۲
طبقه‌ی ۲	۲/۹۲	۴/۲۵	۴۵/۴	۲/۹۳	۲/۵۴	۲۰/۶

روش تقریبی حالت پیش فرض برای کمانش یک قاب خمشی، یک حالت کمانش برشی است که به علت دوران انتهای تیرها و ستونها، ناشی از تغییر شکل خمشی آنها می‌باشد. در نتیجه این فرض برای قابهای خمشی کوتاه دارای دقت مناسب و با که شاید همگی در سازه‌های واقعی برقرار نباشند و با یقین خطأ ایجاد می‌شود. مثلاً همانطور که در بخش ۲ ذکر شد، در این روش تقریبی، تاثیر اعضای قاب خمشی که مستقیماً به ستون مورد نظر اتصال ندارند، دیده نمی‌شود و همچنین در این

۸- مراجع

استاندارد ۲۸۰۰: آیین نامه‌ی طراحی ساختمانها در برابر زلزله، ویرایش دوم، ۱۳۷۸.

تجدید نظر در استاندارد ۵۱۹: آیین نامه‌ی حداقل بار واردۀ بر ساختمانها و اینیهی فنی، انتشارات مدیریت، تهران، ۱۳۷۹.

حسینی هاشمی، بهرج: "تأثیر نقص در ظرفیت باربری ستونها"، مجله‌ی علمی و پژوهشی پژوهشگاه بین المللی زلزله شناسی و مهندسی زلزله، ش ۱، ص ۱۱ تا ۸۶، ۱۳۷۷.

کاوه، علی؛ برخورداری، محمد علی؛ اصول نظریه‌ی پایداری سازه‌ها، انتشارات مرکز نشر دانشگاهی، چاپ اول، ۱۳۶۴.

مقرات ملی ساختمان ایران، مبحث ۱۰: طرح و اجرای ساختمانهای فولادی، نشر توسعه ایران، تهران، ۱۳۸۵.

AISC; Specification for Structural Steel Buildings, American Institute of Steel Construction, Inc., Chicago, IL, 2005.

AISC; Commentary on the Specification for Structural Steel Buildings, American Institute of Steel Construction, Inc., Chicago, IL, 2005.

Bayo, E.; Loureiro, A.; "An efficient and direct method for buckling analysis of steel frame structures", Journal of Constructional Steel Research, vol. 57, p.p. 1321-1336, December 2001.

Bazeos, N.; Karabalis, D. L.; "Efficient computation of buckling loads for plane steel frames with tapered members", Engineering Structures, vol. 28, p.p. 771-775, April 2006.

Chen, W. F.; Lui, E. M.; Structural Stability, Elsevier Science Publishing Co, New York, 1987.

Chen, W. F.; "Structural stability: from theory to practice", Engineering Structures, vol. 22, p.p. 116-122, February 2000.

Cheong-Siat-Moy, F.; "K-Factor Paradox", Journal of Structural Engineering, ASCE, vol. 112, p.p. 1747-1760, 1986.

Gantes, C. J.; Mageirou, G. E.; "Improved stiffness distribution factors for evaluation of effective buckling lengths in multi-story sway frames", Engineering Structures, vol. 27, p.p. 1113-1124, June 2005.

Godoy, L. A.; Theory of elastic stability: analysis and sensitivity, Taylor & Francis, 2000.

MacGregor, J. G.; Hage, S. E.; "Stability Analysis and Design of Concrete Frames", Journal of the Structural Division, ASCE, vol. 103, p.p. 1953-1970, 1977.

افزایش ارتفاع قاب، خطای آن افزایش می‌یابد زیرا سایر حالت‌های کمانش مانند حالت کمانش خمشی نیز موثر می‌شوند و شکل کمانش به صورت ترکیبی از این حالت‌ها در می‌آید.

۷- نتیجه

مساله‌ی پایداری در قابهای خمشی فولادی، موضوعی مهم است. مقطع ستونهای فولادی از صفحات نازک تشکیل شده و دارای طول بلندی بوده که مستعد کمانش می‌باشند لذا بررسی و در نظر گرفتن آن در طراحی ضروری است. بررسی پایداری یک قاب، نیاز به انجام تحلیلهای کمانش به تعداد ستونهای آن قاب بعلوّهی تعداد طبقات آن بعلاوه ۱ دارد تا نه تنها پایداری کل قاب تامین شده، بلکه پایداری تکنک طبقات و ستونها نیز تامین گردد. مثلاً برای یک قاب خمشی ۸ طبقه‌ی ۳ دهانه نیاز به انجام ۴۱ ($8 \times 4 + 1 = 41$) تحلیل کمانش می‌باشد که مقررین به صرفه نیست و کاری فوق العاده زمان بر است که خارج از وقت و حوصله‌ی مهندسان طراح می‌باشد، لذا باید روشی را جست که اولاً ساده و کاربردی باشد، ثانیاً دارای نتایج محافظه کارانه و در عین حال دقیق باشد.

با توجه به روش‌های مختلف پیشنهاد شده برای تامین پایداری قابهای خمشی فولادی، فهم، آشنایی با محدودیتها و توجه به میزان دقت آنها، مساله‌ای مهم در طراحی است. در این تحقیق، پر کاربردترین روش در این زمینه در طراحی‌های روزمره که در بخش ۲ معرفی شد، مورد تقدیر و بررسی قرار گرفت تا استفاده از آن به صورت آگاهانه صورت پذیرد.

رابطه مربوط به کمانش یک طبقه یا کمانش همزمان ستونهای یک طبقه در سیستم قاب خمشی، ارائه شده در بخش ۵ مورد ارزیابی و تایید قرار گرفت تا بتوان از آن در طراحی‌ها بهره برد و از تامین پایداری طبقات اطمینان حاصل نمود.

از نتایج این مقاله مشاهده شد که تامین پایداری ستونهای یک طبقه به طور مجزا، تضمین کننده پایداری آن طبقه نبوده و همچنین تامین پایداری طبقات یک قاب، تضمین کننده پایداری کل قاب نمی‌باشد. توجه به این نکات، از آن جنبه حائز اهمیت می‌باشد که آیین‌نامه‌های معتبر موجود در خصوص الزامات مربوط به پایداری، طراح را اجبار به استفاده از روش خاصی نکرده‌اند. لذا طراحان در استفاده از روش‌های مختلف یا حتی

انجام تحلیلهای دقیق، می‌بایست کنترلهایی در این خصوص انجام نمایند تا یک سیستم سازه‌ای پایدار متشكل از طبقات و ستونهای پایدار حاصل گردد. اهمیت این موضوع در حالت‌های خاصی که فرضیات مربوط به روابط ساده موجود به میزان زیادی نقض شده و استفاده از روش‌های دقیق‌تر لازمت، بیشتر می‌گردد.

Mageirou, G. E.; Gantes, C. J.; "Buckling strength of multi-story sway, non-sway and partially-sway frames with semi-rigid connections", Journal of Constructional Steel Research, vol. 62, p.p. 893-905, September 2006.

[۱۶]

Naeim, F.; The Seismic Design Handbook, 2nd Edition, Van Nostrand Reinhold, New York, 2000.

[۱۷]

Nair, R. S.; "A Simple Method of Overall Stability Analysis for Multistory Buildings", Council on Tall Building, Van Nostrand Reinhold, New York, 1983.
Raftoyiannis, I. G.; Gantes, C. J.; "The effect of semi-rigid joints and an elastic bracing system on the buckling load of simple rectangular steel frames", Journal of Constructional Steel Research, vol. 61, p.p. 1205-1225, September 2005.

[۱۸]

Saffari, H.; Rahgozar, R.; "An efficient method for computation of effective length factor of columns in a steel gabled frame with tapered members", Journal of Constructional Steel Research, In Press, Corrected Proof, Available online October 2007.

[۱۹]

Wang, Y.; Yang, W.; "The research of the effective length for the column in stability analysis of steel frames with semi-rigid connection", Fourth International Conference on Advances in Steel Structures, p.p. 191-196, 2005.

[۲۰]

Xu, L.; Liu, Y.; "Story stability of semi-braced steel frames", Journal of Constructional Steel Research, vol. 58, p.p. 467-491, April 2002.

[۲۱]

[۲۲]